

# Волны Холла в плазме

Запишем уравнения Максвелла [5]:

$$\nabla \times \vec{H} = \frac{\partial \vec{D}}{\partial t} + \vec{J} \quad (5)$$

$$\nabla \times \vec{E} = -\frac{\partial \vec{B}}{\partial t} \quad (6)$$

$$\vec{D} = \epsilon_0 \vec{E} \quad (7)$$

$$\vec{B} = \mu_0 \vec{H} \quad (8)$$

$$\vec{J} = \sigma(\vec{E} + \vec{V} \times \vec{B}) \quad (9)$$

Плотность тока  $\vec{J}$  в обобщенном законе Ома (9) учитывает влияние электрического поля  $\vec{E}$  и силу Лоренца на электрон со стороны магнитного поля  $\vec{B}$ .

Уравнение движения электронов с зарядом  $e$ , массой  $m_e$ , движущихся со скоростью  $\vec{V}_i$  в электрическом и магнитном полях задается уравнением:

$$m_e \frac{d\vec{V}_i}{dt} = e(\vec{E} + \vec{V}_i \times \vec{B}) \quad (10)$$

Плотность тока может быть выражена через среднюю скорость электронов  $\bar{V}$  и их концентрацию  $n_e$ :

$$\vec{J} = en_e \bar{V} \quad (11)$$

Среднюю скорость можно получить интегрированием уравнения движения (10) по времени на интервале  $\tau = 1/\nu$ , где  $\nu$  – частота соударений

$$\bar{V} = \int_0^\tau \frac{e}{m_e} (\vec{E} + \vec{V}_i \times \vec{B}) dt = \frac{e\tau}{m_e} \left[ \vec{E} + \left( \int_0^\tau \vec{V}_i dt \right) \times \vec{B} \right] = \frac{e\tau}{m_e} (\vec{E} + \vec{V} \times \vec{B}) \quad (12)$$

Или

$$\vec{J} = \frac{e^2 n_e \tau}{m_e} (\vec{E} + \vec{V} \times \vec{B}) \quad (13)$$

Выражение для проводимости  $\sigma$  в нашем случае имеет вид:

$$\sigma = \frac{e^2 n_e \tau}{m_e} \quad (14)$$

Волновое уравнение, которое следует из уравнений (5-9), получим стандартным путем [5].

Найдем операцию ротора для уравнения (5) и продифференцируем уравнение (6) по времени.

$$\nabla(\nabla \cdot \vec{H}) - \nabla^2 \vec{H} = \nabla \times \frac{\partial \vec{D}}{\partial t} + \nabla \times \vec{J} \quad (15)$$

$$\nabla \times \frac{\partial \vec{E}}{\partial t} = \frac{1}{\epsilon_0} \nabla \times \frac{\partial \vec{D}}{\partial t} = -\frac{\partial^2 \vec{B}}{\partial t^2} \quad (16)$$

Объединяя (15) и (16) с учетом (7) и (8), получим волновое уравнение

$$\nabla(\nabla \cdot \vec{B}) - \nabla^2 \vec{B} = -\epsilon_0 \frac{\partial^2 \vec{B}}{\partial t^2} + \mu_0 \nabla \times \vec{J} \quad (17)$$

Будем считать, что ток проводимости, связанный с движением электронов в уравнении (17), преобладает над токами смещения, что позволяет волновое уравнение привести к виду:

$$\nabla \times \vec{J} = 0 \quad (18)$$

или

$$\sigma(\nabla \times \vec{E} + \nabla \times (\vec{V} \times \vec{B}) + \nabla \sigma \times (\vec{E} + \vec{V} \times \vec{B})) = 0 \quad (19)$$

По этому поводу оппоненты обычно говорят: «*To, что можно ограничиться только этими членами, надо еще доказать!*» Мы ничего доказывать не будем, а скажем: «*Рассмотрим такую модель*

плазмы, в которой (19) выполняется», или еще короче: «Пусть (19) справедливо».

Сначала рассмотрим однородную среду ( $\nabla \sigma = 0$ ), для которой волновое уравнение выглядит как

$$\nabla \times \vec{E} + \nabla \times (\vec{V} \times \vec{B}) = 0 \quad (20)$$

Пусть электрон движется в магнитном поле. Здесь мы будем иметь ввиду не внешнее, а собственное магнитное поле волны.

Совместим декартову систему координат с центром одной из неподвижных нейтральных частиц, удаленную от соседних на длину свободного пробега электронов  $\lambda$ .

Магнитное поле  $B_z$ , направленное вдоль оси  $z$ , вызовет ларморовское вращение электрона в плоскости  $(x, y)$ . Радиус ларморовской окружности  $R_L$  определяется как:

$$R_L = \frac{V_x}{\omega_L} \quad (21)$$

где циклотронная частота  $\omega_L$  задается соотношением:

$$\omega_L = \frac{eB_z}{m_e} \quad (22)$$

Здесь:  $V_{xy}$  – проекция скорости электронов на плоскость  $(x, y)$  [14].

Если  $R_L \geq \lambda/2$ , электроны движутся по круговым ларморовским орбитам, не имея полного оборота из-за столкновений с нейтральными частицами. Для того, чтобы определить траекторию электрона, рассмотрим процесс его столкновения с частицей. Сударение может быть как упругим, так и неупругим (рис. 6-7).

Если размеры нейтральной частицы значительно меньше длины свободного пробега (например, для воздуха это соотношение – тысяча), что позволяет считать, что все электроны, движущиеся по ларморовским окружностям и столкнувшись с частицей, имеют относительно нее однозначно определяемую магнитным полем  $B_z$  и радиусом  $r$  тангенциальную компонен-

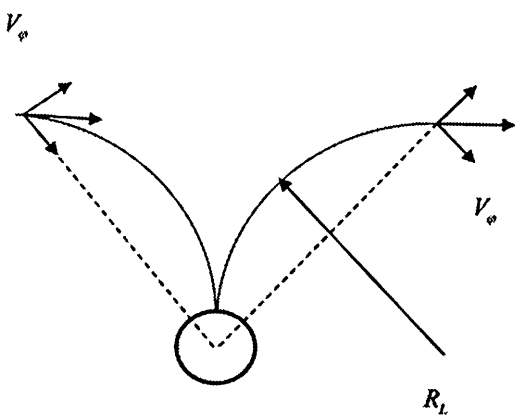


Рис. 6. Упругое соударение электрона с нейтральной частицей.

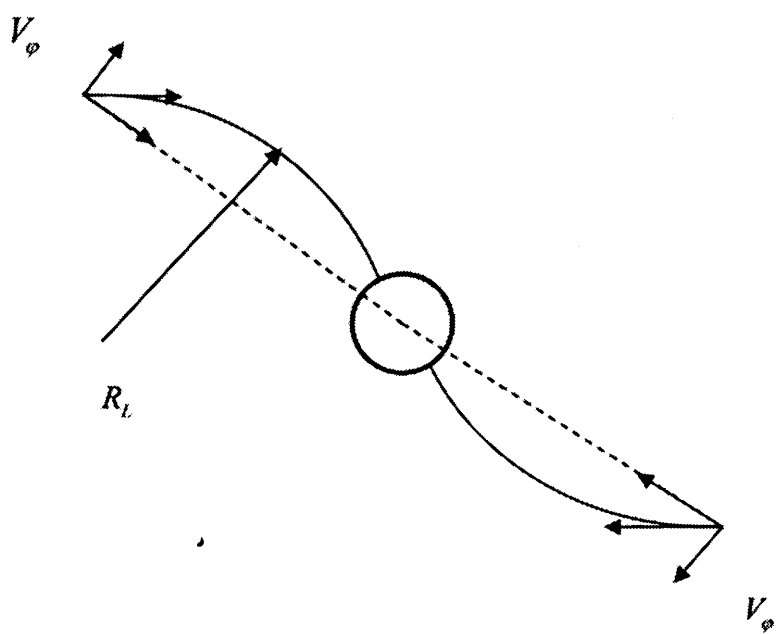


Рис. 7. Неупругое соударение двух электронов с нейтральной частицей.

$$V_{xy} = \omega_L R_L$$

$$V_\varphi = V_{xy} \frac{r}{2R_L}$$

$$\omega_L = \frac{eB_z}{m_e}$$

$$V_\varphi = \frac{eB_z r}{2m_e}$$

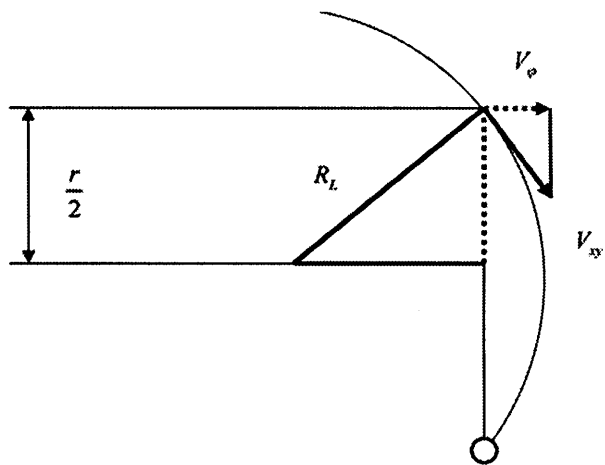


Рис. 8. Схема расчета тангенциальной скорости столкнувшегося электрона.

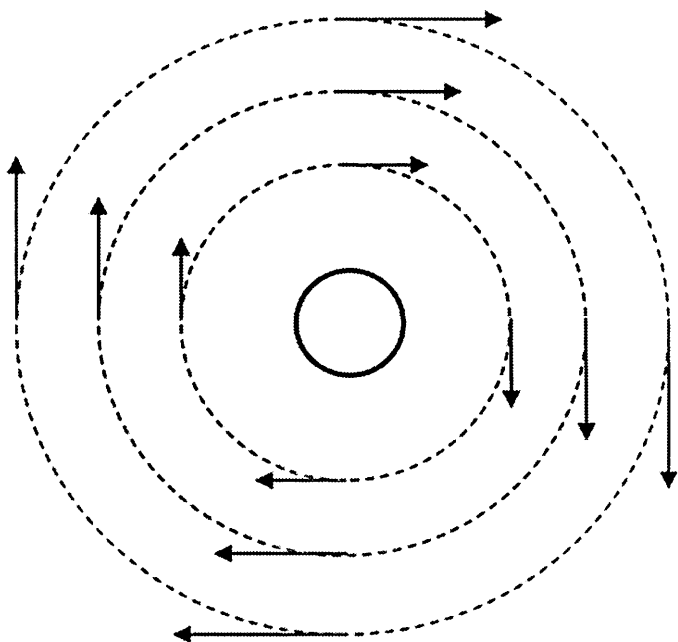


Рис. 9. Круговой ток вокруг нейтральной частицы.

ту линейной скорости  $V_\varphi$ . В полярной системе координат  $(r, \varphi)$  связанной с нейтральной частицей, в плоскости  $z = 0$  эта компонента имеет величину

$$V_\varphi = \frac{reB_z}{2m_e}, \quad r \leq \lambda/2 \quad (23)$$

Вывод формулы (23) поясняется рис. 8.

Электроны, как прямые, так и отраженные, образуют вокруг частицы круговой ток (рис. 9).

Тангенциальная скорость электронов вокруг нее (23) в векторной форме имеет вид

$$\vec{V} = \frac{e}{2m_e} \vec{B}_z \times \vec{r} \quad (24)$$

Используя выражение для скорости (24), найдем векторное произведение  $(\vec{V} \times \vec{B}_z)$ :

$$(\vec{V} \times \vec{B}_z) = \frac{eB_z^2}{2m_e} \vec{r} = \vec{E}_h(r) \quad (25)$$

Формула (25) описывает эффект Холла и означает, что каждая нейтральная частица плазмы, с которой происходят столкновения электронов при наличии магнитного поля, является генератором напряженности электрического поля  $E_h$ , занимающим на плоскости  $z = const$  площадь  $S_h \sim \lambda^2$ , а вдоль оси  $z$  высоту  $h_h$ , связанную с эффективным сечением соударений  $Q$  как  $h_h \sim \sqrt{Q}$  [12].

Напряженность электрического поля в микрогенераторе Холла имеет размерность:

$$[E_h] = A^{-1} \cdot s^{-3} \cdot kg \cdot m = V \cdot m^{-1}$$

В отличие от практически реализованных МГД-генераторов электрической энергии на эффекте Холла [6], рассматриваемый нами микрогенератор имеет квадратичную зависимость от магнитной индукции. Причина в том, что здесь поле играет двой-

ную роль: во-первых, оно является «внешним», приводящим к эффекту Холла, во-вторых, оно вызывает упорядоченное круговое движение электронов и входит в формулу для их скорости.

Найдем среднее (макроскопическое) электрическое поле с пространственными масштабами много больше длины свободного пробега  $\lambda$ , возбуждаемое микрогенераторами Холла.

Воспользуемся определением напряженности электрического поля через скалярный потенциал  $\varphi$ :

$$\vec{E} = \nabla \varphi$$

Разность потенциалов  $U = \varphi_b - \varphi_a$  между двумя точками определяется как:

$$U = \int_a^b \vec{E} d\vec{r}$$

Найдем напряжение электрического поля на противоположных концах генератора Холла  $a = -\lambda/2$ ,  $b = \lambda/2$ , лежащего на оси  $x$ .

Напряженность поля  $E_H$  относительно центра направлена в противоположные стороны, но наличие производной

$$\frac{\partial B_z}{\partial x}$$

приводит к асимметрии генератора вдоль оси  $x$ . Напряженность поля на одной из границ равна

$$B_z + \frac{\partial B_z}{\partial x} \frac{\lambda}{2}, \text{ на другой } B_z - \frac{\partial B_z}{\partial x} \frac{\lambda}{2}.$$

Напряжение между противоположными точками генератора равно:

$$\begin{aligned} U_h &= \frac{e}{2m_e} \int_0^{\lambda/2} \left( B_z + \frac{\partial B_z}{\partial x} x \right)^2 x dx - \frac{e}{2m_e} \int_0^{\lambda/2} \left( B_z - \frac{\partial B_z}{\partial x} x \right)^2 x dx = \\ &= \frac{2e}{m_e} \int_0^{\lambda/2} B_z \frac{\partial B_z}{\partial x} x^2 dx = \frac{\lambda^3 e}{12m_e} B_z \frac{\partial B_z}{\partial x} \end{aligned} \quad (26)$$

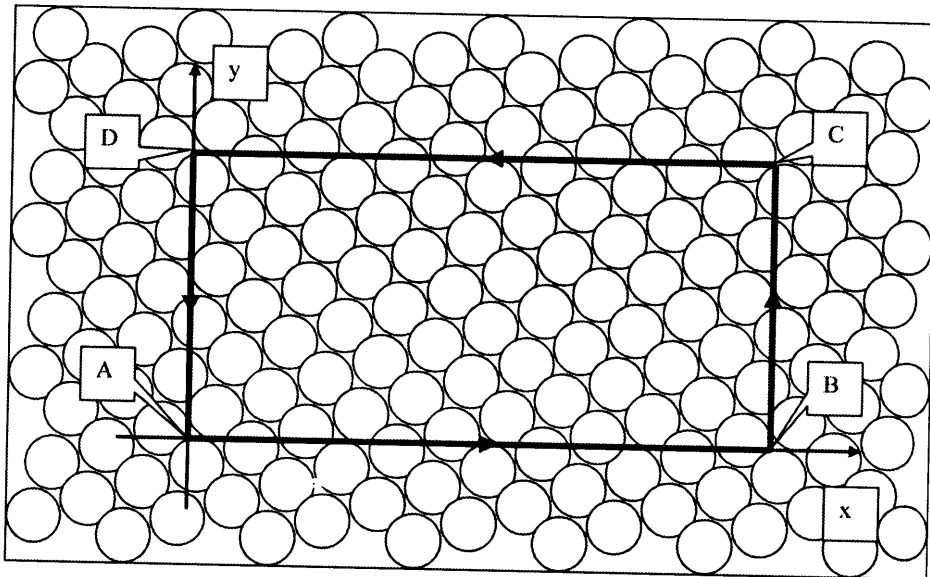


Рис. 10. Схема интегрирования по границе.

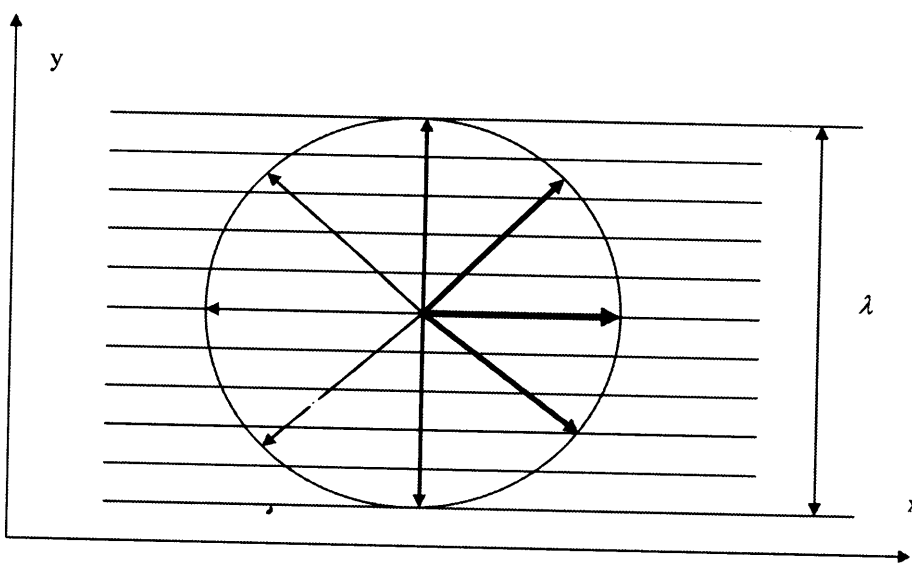


Рис. 11. Схема усреднения поля.

Найдем напряжение  $U_H$  между точками  $a$  и  $b$ , предполагая, что расстояние между ними много больше длины свободного пробега  $(b-a) \gg \lambda$ .

Теперь ось  $x$  не привязана к центру генератора, а может пересекать его с равной вероятностью отклонения по поперечной координате, что приведет к уменьшению вклада каждого генератора в результирующее напряжение (рис. 10-11).

Учтем это уменьшение введением коэффициента

$$K_1 = \frac{\pi}{4} \quad (27)$$

Напряжение усредненного поля в предположении, что количество пересекаемых генераторов равно  $n \approx dx/\lambda$  можно записать как

$$U_H = K \frac{\lambda^2 e}{m_e} B_z \frac{\partial B_z}{\partial x} dx \quad (28)$$

$$K = \frac{\pi}{48} \quad (29)$$

Безразмерный коэффициент (29) получен для линейного возрастания по радиусу тока в микрогенераторе, когда для всех столкнувшихся электронов

$$V_{xy} \geq \frac{\lambda e B_z}{2 m_e}$$

Более реалистичное распределение электронов по скоростям даст другое значение коэффициента, что, тем не менее, не влияет на физику рассматриваемых процессов.

Напряженность электрического поля в плоскости  $(x, y)$  будет иметь вид

$$\vec{E}_H = K \frac{\lambda^2 e}{m_e} B_z \frac{\partial B_z}{\partial x} \vec{i}_x + K \frac{\lambda^2 e}{m_e} B_z \frac{\partial B_z}{\partial y} \vec{i}_y \quad (30)$$

Для нахождения функции ротора электрического поля, возбуждаемого микрогенераторами Холла (25) и одновременного

его усреднения, воспользуемся теоремой Стокса: Поток ротора через поверхность равен циркуляции вектора вдоль ее границы.

$$\int_S (\nabla \times \vec{E}_H) \cdot d\vec{s} = \int_L \vec{E}_H \cdot d\vec{l} \quad (31)$$

Зададим длину контура интегрирования  $L \gg \lambda$

Вычисляя циркуляцию вектора электрического поля вдоль границы  $CDABC$  (рис. 10) получим:

$$(\nabla \times \vec{E}_H) \cdot \vec{s} = K \frac{\lambda e}{m_e} B_z \frac{\partial B_z}{\partial x} xy - K \frac{\lambda e}{m_e} B_z \frac{\partial B_z}{\partial y} xy \quad (32)$$

Или

$$\nabla \times \vec{E}_H = K \frac{\lambda e}{m_e} B_z \frac{\partial B_z}{\partial x} - K \frac{\lambda e}{m_e} B_z \frac{\partial B_z}{\partial y} \quad (33)$$

Здесь мы воспользовались тем же подходом, что и при нахождении среднего электрического поля (26-30).

Используя (6) и (33), можно получить волновое уравнение для магнитного поля.

$$\frac{\partial B_z}{\partial t} - K \frac{\lambda e B_z}{m_e} \left( \frac{\partial B_z}{\partial x} - \frac{\partial B_z}{\partial y} \right) = 0 \quad (34)$$

Величина

$$\left[ K \frac{\lambda e B_z}{m_e} \right] = m \cdot s^{-1}$$

имеет размерность скорости.

Уравнение в частных производных первого порядка (34) хорошо известно и его обычно называют уравнением Римана для простой волны. Этим уравнением описывается большой класс физических явлений: волны в транспортном потоке, распространение пожара, процесс генерирования СВЧ колебаний в кристалонах, неустойчивость плазмы и многое другое [16, 17].

Рассматриваемый волновой процесс также может быть отнесен к одному из типов неустойчивости плазмы.

Теперь, используя полученные результаты для однородной плазмы, рассмотрим модель неоднородной плазмы, т.е. уравнение (19), в котором  $\nabla\sigma \neq 0$ .

Будем считать, что электрическое поле внутри плазмы определяется только ЭДС микрогенераторов Холла

$$\bar{E}_H = K \frac{\lambda^2 e}{m_e} B_z \frac{\partial B_z}{\partial x} \vec{1}_x + K \frac{\lambda^2 e}{m_e} B_z \frac{\partial B_z}{\partial y} \vec{1}_y$$

Операция векторного умножения дает:

$$\nabla\sigma \times \bar{E}_H = -K \frac{\lambda^2 e}{m_e} B_z \frac{\partial B_z}{\partial x} \frac{\partial\sigma}{\partial y} + K \frac{\lambda^2 e}{m_e} B_z \frac{\partial B_z}{\partial y} \frac{\partial\sigma}{\partial x} \quad (35)$$

Уравнение (35) перепишем в более подробном виде

$$\begin{aligned} & \sigma \left( \frac{\partial B_z}{\partial t} - K \frac{\lambda e B_z}{m_e} \frac{\partial B_z}{\partial x} + K \frac{\lambda e B_z}{m_e} \frac{\partial B_z}{\partial y} \right) - \\ & - K \left( \lambda \frac{\partial\sigma}{\partial y} \right) \frac{\lambda e B_z}{m_e} \frac{\partial B_z}{\partial x} + K \left( \lambda \frac{\partial\sigma}{\partial x} \right) \frac{\lambda e B_z}{m_e} \frac{\partial B_z}{\partial y} = 0 \end{aligned} \quad (36)$$

Дополнительные пространственные производные, связанные с градиентом проводимости, соотносятся с членами, содержащими функцию проводимости как:

$$\frac{\lambda \nabla \sigma}{\sigma} : 1$$

и в силу своей малости могут не рассматриваться.

Волновое уравнение в неоднородной плазме примет вид:

$$\sigma \left( \frac{\partial B_z}{\partial t} - K \frac{\lambda e B_z}{m_e} \frac{\partial B_z}{\partial x} + K \frac{\lambda e B_z}{m_e} \frac{\partial B_z}{\partial y} \right) = 0 \quad (37)$$

В (37) проводимость  $\sigma$  может зависеть от пространственной и временной координаты.

Для численной расчетов волнового уравнения (34) в однородной плазме будем использовать суммарно-разностную первого порядка точности условно-устойчивую схему:

$$\begin{aligned} B_{x,y}^{t+1} = & \frac{1}{4}(B_{x+1,y}^t + B_{x-1,y}^t + B_{x,y+1}^t + B_{x,y-1}^t) + \frac{\alpha \Delta t}{2\Delta x} B_{x,y}^t (B_{x+1,y}^t - B_{x-1,y}^t) - \\ & - \frac{\alpha \Delta t}{2\Delta y} B_{x,y}^t (B_{x,y+1}^t - B_{x,y-1}^t) \end{aligned} \quad (38)$$

где

$$\alpha = K \frac{\lambda e}{m_e}$$

Здесь верхние индексы при  $B$  соответствуют временной координате  $t$ , нижние индексы – пространственным координатам  $x$  и  $y$ .

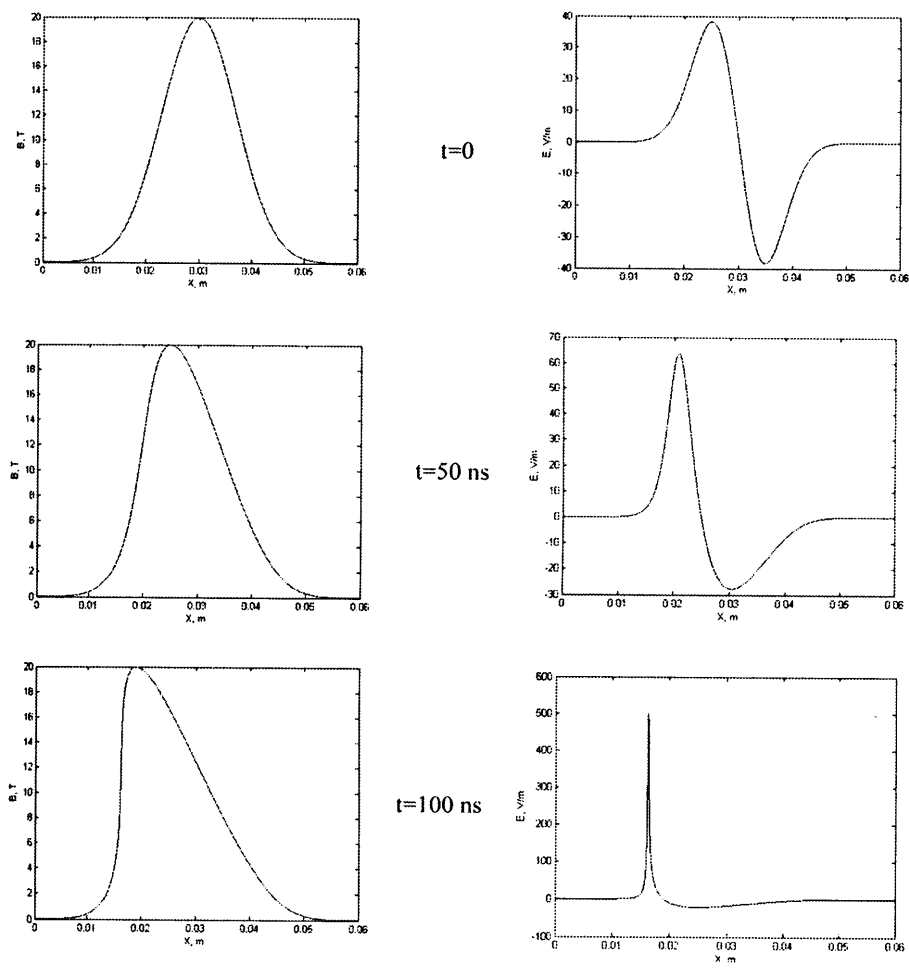
Условие устойчивости разностной схемы (31) требует выполнения соотношений между шагом по времени  $\Delta t$  и шагами по пространственным координатам  $\Delta x$ ,  $\Delta y$  [7]:

$$\Delta t \leq \frac{\Delta x}{\alpha |B_{\max}|}; \quad \Delta t \leq \frac{\Delta y}{\alpha |B_{\max}|} \quad (39)$$

Приведем результаты численных расчетов по суммарно-разностной схеме (38) для одномерной задачи, когда  $\partial B_z / \partial y = 0$

На рис. 12 показано пространственное распределение магнитного поля  $B_z$  и электрического поля  $E_x$  в моменты времени 0, 50 и 100 нс для начального поля гауссианской формы.

Начальное магнитное поле симметричной гауссианской формы начинает перемещаться влево, при этом его левая граница становится круче, а правая положе. Возрастание пространственной производной левой границы приводит к появлению большой напряженности электрического поля. При дальнейшем движении, теоретически, производная магнитного поля и напряженность электрического станут бесконечными, и волна опрокинется.



*Рис. 12. Численный расчет магнитного и электрического поля.*